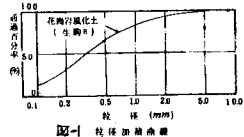


大阪工業大学 正員 福田謙
大阪工業大学 学生員 ○藤原一薰
大阪工業大学 学生員 小川敬次郎

1.まえがき 道路・堤体・宅造などの材料としてマサ土のようないわしや風化砂質土がよく用いられる。最近、これら造成に対する締固めの意識が、工期を急ぐためか、経費の節減のためか、低下しているように思われる。このようしたことから、本報告では締固めの重要性を検証する意味も含め、別報告¹⁾の締固め効果を考慮した解析手法を用い、マサ土を例として種々な高さの斜面の安定解析結果について述べることにする。

2.解析に用いた試料土およびセニ断試験 ①試料土：試料土は大阪府生駒山から採取したマサ土で、粒径加積曲線を図-1に示す。②セニ断試験：一面セニ断試験（セニ断箱：直徑10cm、高さ4cm、下部可動式）を用いて排気の条件で行なった。試験結果は別報告中の図-1に示す。

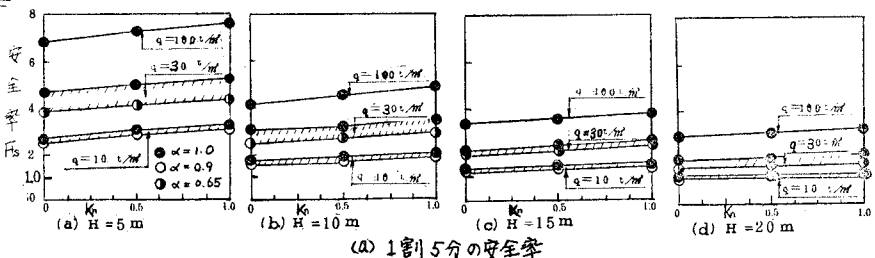


3.解析手順 盛土斜面の安定解析はつきの手順で行なう。(1)締固め荷重 q (kg/m²)を決める。(2)e-log P 線より \bar{K}_0 (平均締固め圧)に対する α を求める。含水比に応じた土の見かけ密度 γ を算出する。(3)過圧密領域のは一定とする(繰返し圧縮試験結果によるとほとんどどの値はおわりない)。(4)正規圧密領域と過圧密領域の境界深さ H_p を算定する。(5)正規圧密領域の H はe-log P 線より土がぶり圧に相当する γ に対応した α から求めらる。(6)すべり面(半純円弧)を設定し、土塊を分割する。(7)機械的挙動面中 α と締固め厚さ d の関係(別報告¹⁾参照)より α を決める。(8) $K_{n\alpha}$ の値を決める。ここでは0.5をし、 $K_{n\alpha} = \frac{\bar{K}_0}{\gamma} / \beta \cdot \alpha$ より締固め時に生ずる水平応力 $\bar{K}_{n\alpha}$ を求める。(9)分割片のすべり面へ締固め時に作用する垂直応力 σ_v の関係より求めらる。(10)各分割片のすべり面における S_f を別報告¹⁾図-2を用い、上述の(6)と分割片のすべり面上に作用する垂直応力 σ_v の関係より求めらる。(11) $F_S = \frac{\sum S_f \cdot l}{\sum W \sin \theta}$ として安全率を求める。(l:分割片のすべり面長、W:土塊の重量)

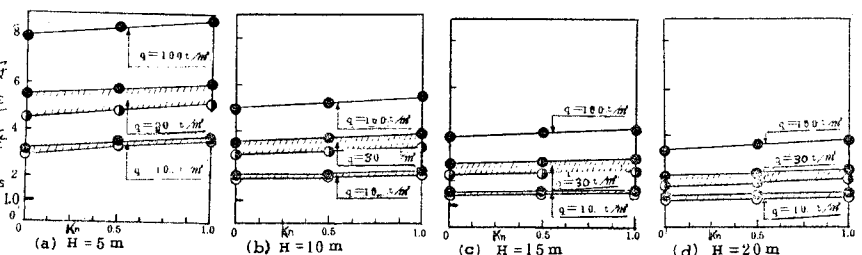
図-2 解析に用いた盛土形状

4. 安定計算 解析条件 (a)盛土は堅固な水平地盤上に造成 (b)盛土材料は自然含水状態程度の約10%のマサ土(c)

図-3に示すように斜面勾配は1割5分および1割8分(d)すべり面は半純円弧とし、基盤を切らないものとする。したがって円弧の半径に限界があり、これを限界最小半径 R_{min} と呼ぶ。(e)盛土高さ H は5, 10, 15 および20mとする。(f)締固め一層当たりの仕上り厚さ d は30cmとし、締固め荷重 q は、10kg/m²



(a) 1割5分の安全率



(b) 1割8分の安全率

図-3 斜面勾配と安全率

(ブルドーザー類), 30t/m^2 (タイローラー類)および 100t/m^2 (タンビンダローラー類)とする。

2) 計算結果 (1) K_n 値について: 通常, K_n 値は 0.5 程度と考えられるが, K_n 値の差異によって安全率 F_S がどのように変るかを知るため, 多数の解析を行なった。結果例を図-3 に示す。図からわかるように, $K_n = 0 \sim 1.0$ で, F_S の値にはそれ程差異はないが, 安定解析に際しては, 安全側に $K_n = 0$ をすればよい。(2) 臨界円: 図-4 に仮想すべり面の半径 R と F_S に関する例を示す。一般に, 締固め圧が小なほど, また H が大なほど, 臨界円の盛土を切る点 C はノリ面より離れるが, ここで注目すべきは, 正規および過圧密の両領域の存在する盛土で, 図-4(a) に示すように, 両領域の境界面に近接する円弧の場合によっては臨界円になることがある。図中, 太線は $\tau > S_f$ の部分を示す。なお, 壓固み水平地盤上に築造される盛土の臨界円は最小半径 R_{min} に一致する。(3) 締固め荷重, 盛土高さと安全率: 図-5 ～ 6 に, γ , H および F_S の相互関係を示す。 H を一定とすると, γ が大なほど F_S は大となり締固め効果を知ることができます。そして, γ を一定とすると, H が大なほど当然, F_S は小となる。(4) コラ配, 1割 5 分と 1割 8 分の F_S を比較すると, 1割 8 分コラ配の F_S が当然大となるが, 兩者の差異は余りみられない。が, 盛土の最大の弱点は, 周知のとおりノリ面にある。これは, ノリ面の締固めがどうしても盛土内部に比べ不十分なことによるものである。ノリ面コラ配を 1割 8 分以上にすると, 機械により軽圧締固めが可能となり²⁾, 盛土高さに応じてコラ配をゆるくすることは施工上望ましいことである。

5. あとがき 収土, 締固め効果を考慮した盛土の解説例について述べたが, 締固めの重要性を検証することことができた。次回は, 傾斜地盤上に築造される盛土余留の安定解析例について述べ予定である。

参考文献:

1) 福田, 中央, 今西; 締固め効果を考慮した盛土斜面の安定解析について(第1報), 年次講演会概要集, 第3部, S 51.10

2) 地田俊雄; 山陽新幹線における盛土の考え方, 土と基礎, Vol. 16, No. 11, 1968, P. 3

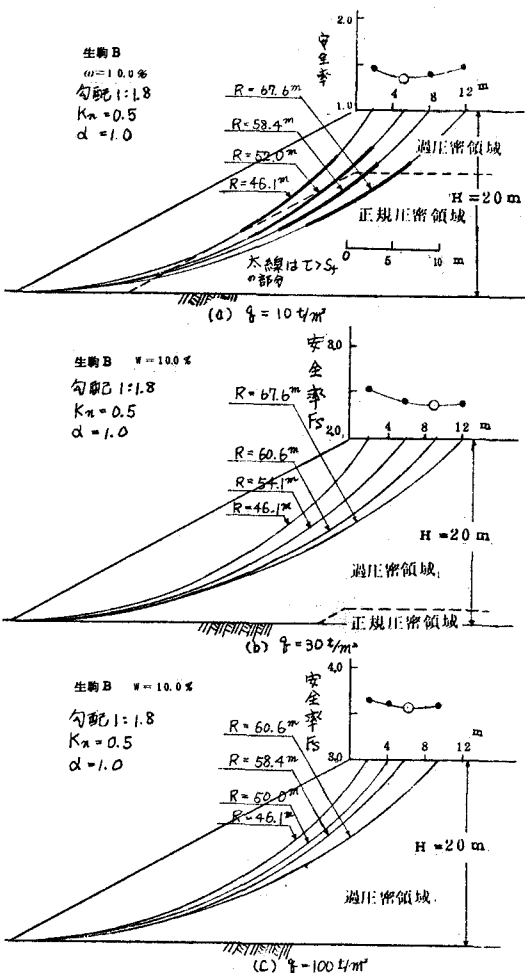


図-4 すべり円の半径と安全率

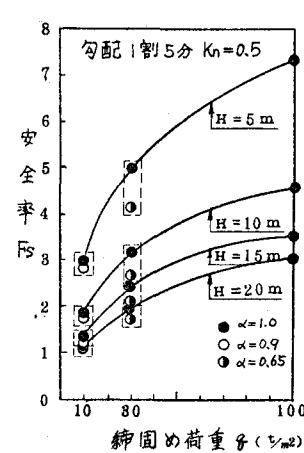


図-5 γ ・ H および F_S の関係

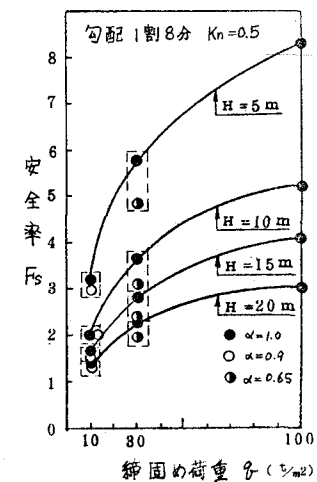


図-6 γ ・ H および F_S の関係